

&lt;技術論文&gt;

# 構造用 低炭素鋼材의 低사이클 疲勞特性에 관한 研究

김영식\* · 노재종\*\* · 한명수\*\*\*

(1988년 8월 25일 접수)

## A Study on the Low Cycle Fatigue Characteristics for the Structural Low Carbon Steels

Young-Sik Kim, Jae-Choong Noh and Myoung-Soo Han

**Key Words:** Strain Controlled(변형율제어형), Cyclic Softening(반복연화), Strain Ratio(변형율비), Tire Track(타이어트랙), Fully Reversed(완전양진형)

### Abstract

In recent years, the fatigue design method by analysis for the mechanical components and the welded structures has much increased, instead of the fatigue design method by rule that has been widely used from the past days. When a fatigue design is conducted by that method, the basic informations, fatigue life curves are mainly obtained from the results of the strain controlled low cycle fatigue test. From these point of views, the low cycle fatigue test is coming to be given a much importance lately. In this paper, the strain controlled low cycle fatigue properties at room temperature in air environment were investigated for the low carbon forged steel, SF45A, and the rolled steel for the welded structure, SM 41B. Throughout the test, strain ratio,  $R$ , was maintained constant with the fully reversed condition, -1. As the experimental results, the cyclic stress-strain behaviours of the test materials were different each other, but the low cycle fatigue life-time of them appeared to show little difference in the region of this test conditions.

### 1. 序 論

低사이클 疲勞試驗은 機械要素, 構造物等의 應力集中部에 있어서 균열발생 수명을 예측하기 위하여 行하여 지고 있다. 응력집중부인 노치底部(root of notch)의 疲勞거동은 그 材料의 平滑試驗片(smooth specimen)을 변형율 제어조건(strain controlled condition)下에서 低사이클피로시험을 행하여 얻은 결과와 相似시킬 수 있다. 즉 피로하중이 작용하는 노치底部의 응력-변형율履歷(stress-

strain hystory)을 平滑試驗片上에 再現하여 低사이클 疲勞試驗을 행하고, 여기서 얻은 결과를 累積損傷理論(cumulative damage theory)에 적용함으로써 노치底部에서의 微小균열 발생에 근거한 수명을 예측 할 수 있다<sup>(1~2)</sup>.

이와 같은 목적을 위하여 지금까지 여러 材料들에 대한 低사이클 疲勞特性에 관한 研究가 보고되어 있으며<sup>(3~5,10)</sup>, 누적 損傷파라미터(parameter)를 이용한 수명추정<sup>(6~9)</sup> 등이 행해졌고, 이를 기초로 하여 노치材에서의 균열發生 및 전파수명<sup>(11~13)</sup>에 관한 多數의 論文이 보고되어 있다. 그러나, 機械, 構造物用 素材로서 널리 利用되고 있는 軟鋼級 低炭素 鍛造鋼材와 압연 鋼材에 대한 低사이클 疲勞試驗 데이터는 매우 빈약한 편이며, 더욱기 國產의

\* 정회원, 한국해양대학 선박기계공학과

\*\* 로이드 선급협회

\*\*\* 한국해양대학 대학원

이들材料에 대한低사이를疲勞試驗데이터는 보고되어 있지 않다.

또한使用中인構造用低炭素鋼의殘存疲勞수명을예측하기위해서는疲勞과정中の硬化및軟化運動이매우중요한요소이나<sup>(14)</sup>,鋼材의加工工程또는負荷變形率의크기에따른반복hardening 및 반복softening運動은밝혀져있지않다.

本研究에서는鍛造과정을거친후노멀라이징(normalizing)처리된SF45A鋼種과압연후자연냉각시킨SM41B鋼種의두國產鋼種에대해저사이를疲勞試驗을행하여低사이를疲勞特性을밝히고,鋼材의加工工程과負荷變形率變化에따른疲勞과정中的軟化및hardening거동을관찰하였다.그리고低사이를疲勞破面의微視的考察을통해서負荷變形率크기에따른微視的破面樣相의變化를밝혀破壞解析의기초資料로提供하였다.

## 2. 實驗材料 및 實驗方法

### 2.1 實驗材料 및 試驗片

實驗에사용한材料는일반熔接構造物材料로서널리利用되고있는SM41B와,추진축계,크랭크축,커플링볼트,등에사용되는SF45A이다. Table 1은그들의化學的性分을그리고Table 2는機械的性質을나타낸다.

Fig. 1은본實驗에서사용한試驗片의형상 및 치수를나타내고있다.試驗片은SM41B경우25mm판두께중앙에서,SF45A는단조와열처리가완료된材料의판두께중앙에서각각압연방향과

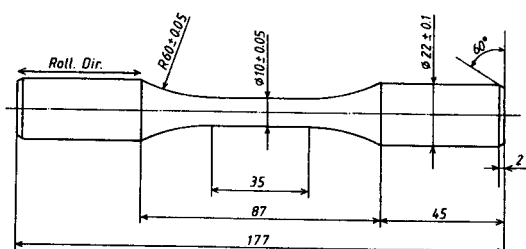


Fig. 1 Configuration & dimensions of specimens

평행하게채취하였다.試驗片은선반가공후#1000의砂布에의해원주방향으로연마되었으며,평행부와R부는酸化크롬으로버핑(buffing)연마가공을행하였다.

### 2.2 實驗方法

實驗에사용한試驗機로서는靜的最大荷重250KN,動的最大荷重±100KN용량의閉루프서보油壓式材料試驗機(Instron社製,8000series)이다.

試驗은變形率制御에의해한試驗片에 대하여試驗片의軸方向으로일정한變形率振幅을반복負荷하는多數試驗法(companion specimen method)으로수행되었으며,負荷되는變形率의波形은삼각파형(triangular wave form)으로하였다.

試驗片에반복負荷되는變形率의制御및檢出은35mm인試驗片평행부상에부착한標點거리25mm의knife edge形伸張計(extensometer)에의해행하였다.全實驗을통하여變形率比(strain ratio;  $R\epsilon$ )는-1인完全兩振으로하였으며負荷되는變形

Table 1 Chemical compositions of test materials

Materials Desig.	Chemical composition (wt. %)								
	C	Si	Mn	P	S	Ni	Cr	Mo	Ceq
SM41B	0.13	0.28	1.0	0.014	0.004	—	—	—	0.308
SF45A	0.20	0.24	0.8	0.016	0.008	0.017	0.015	0.006	0.348

Table 2 Mechanical properties of test materials

Materials	Gauge Length (mm)	Yield Stren. (MPa)	Tensile Stren. (MPa)	Elongation (%)	Red. of Area (%)
SM41B	200	289.1	426.6	33	
SF45A	70	286.2	487.1	27.5	55.0

率速度는 0.005/sec로 일정하게 하였다. 따라서 반복속도는 全變形率振幅의大小에 따라 0.104~0.625Hz 범위 内이다. 負荷變形率의誤差는 最大  $\pm 0.0005$  이하가 되도록 하였다.

本實驗에서試驗片의破斷은 임의反復數에서의引張時의最大應力( $(\sigma_{Tm})_N$ )이式<sup>(1)</sup>로 주어지는 조건 일 때 이루어 진 것으로 하여<sup>(15)</sup>, 그때의 반복수를負荷된全變形率振幅(이하  $\varepsilon_{ta}$ 로表記함)에 대한破斷반복수(number·of cycle to failure; 以下  $N_f$ 로表記함)로하였다.

$$(\sigma_{Tm})_N < \frac{1}{2} \cdot \sigma_{H-L} \quad (1)$$

여기서  $\sigma_{H-L}$ 은 half life average tensile peak stress로서 다음과 같이 나타내어 진다.

$$\sigma_{H-L} = 1 / (\frac{N}{2} - 4) \cdot \sum_{i=N/2}^{N-4} (\sigma_{Tm})_i \quad (2)$$

또한 여기서  $N$ : number of cycles,  $i = \frac{N}{2}, \frac{N}{2}$

$$+1, \frac{N}{2} + 2 \cdots N - 4,$$

本實驗은 공기중에서行해졌으며, 實驗結果들은 SI單位로 정리되었다.

### 3. 實驗結果 및 考察

#### 3.1 반복응력-변형률 舉動

Fig. 2는 SM41B에  $\varepsilon_{ta} = 0.2\%$ 로 반복疲効荷重

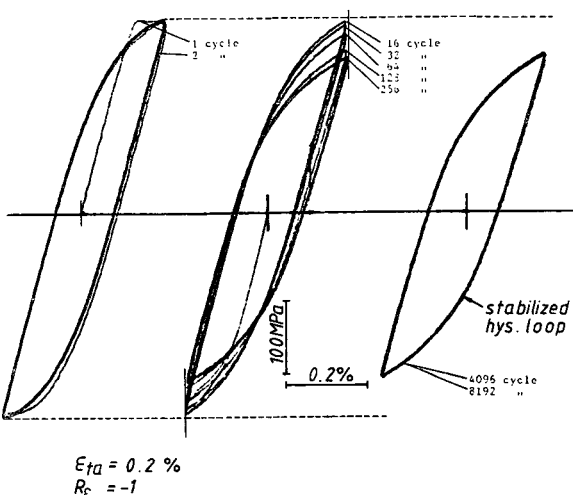


Fig. 2 Variation of cyclic stress-strain hysteresis loops by companion specimen method (SM41B)

을加하였을 때의 반복응력-變形率 히스테리시스 루프(hysteresis loop)群을 나타내고 있다. 반복수가增加함에 따라 일정의  $\varepsilon_{ta}$ 에 대한應力應答值가 감소하는 反復軟化(cyclic softening) 현상이 일어나고 있음을 알 수 있다.

Fig. 3은 SM41B에  $\varepsilon_{ta} = 0.8\%$ 로 반복疲効荷重을加하였을 때의 히스테리시스 루프群을 나타내고 있다. 그림으로부터 알 수 있는 바와 같이  $\varepsilon_{ta} =$

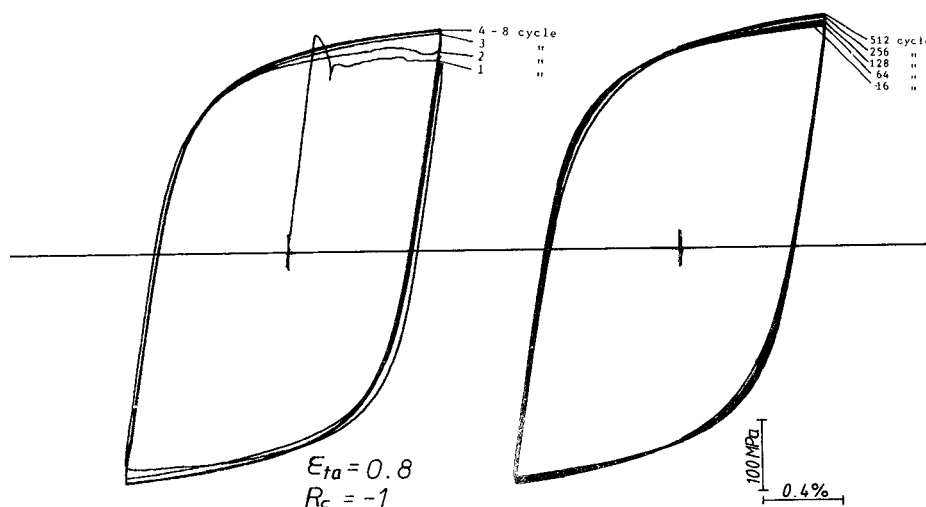


Fig. 3 Variation of cyclic stress-strain hysteresis loops by companion specimen method (SM41B)

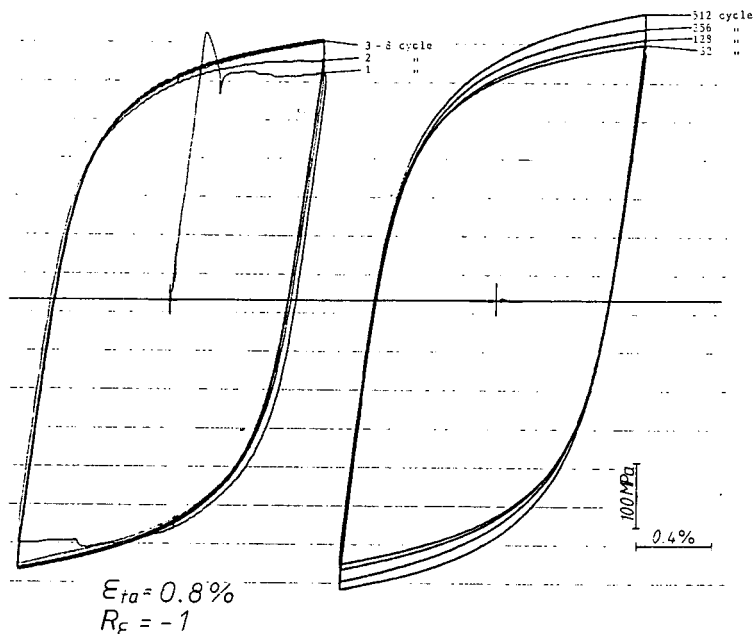


Fig. 4 Variation of cyclic stress-strain hysteresis loops by companion specimen method (SF45A)

0.2%인 경우와는 반대로 반복수의增加에 따라應力應答值가 증가하는反復硬化(cyclic hardening)현상이 일어나고 있음을 알 수 있다.

Fig. 4는 SF45A의  $\varepsilon_{ta}=0.8\%$ 인 조건하에서의 히스테리시스 루프群을 나타내고 있는데, 이 경우도 SM41B의同一荷重條件下에서와 같이反復硬

化 현상을 보이고 있다.

Fig. 5와 6은 각각 SM41B와 SF45A에 있어서反復數를變數로 취했을 때 각  $\varepsilon_{ta}$ 에 응답하는應力진폭과 반복수와의 관계를 나타낸 것이다. Fig. 5의 SM41B에서  $\varepsilon_{ta}=0.2\%$ 인 경우 반복수의增加에 따라 약간硬化後 현저히軟化하고 있음을 보이

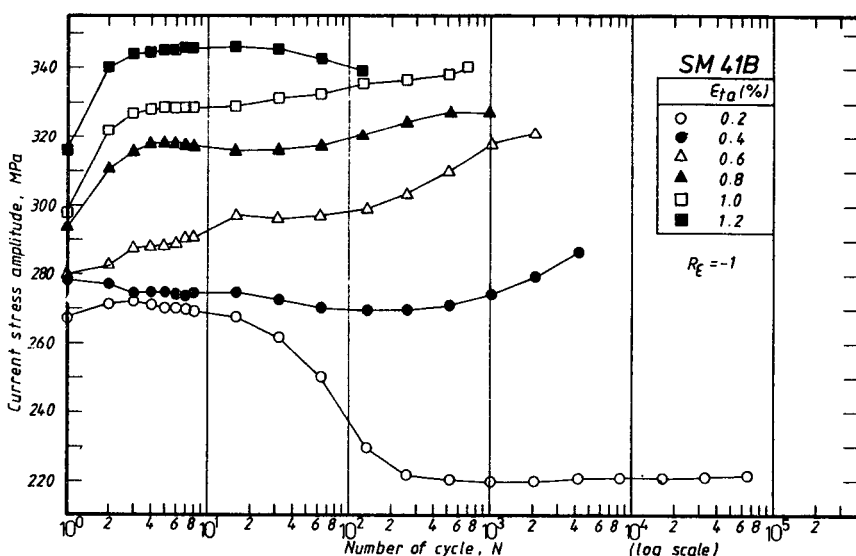


Fig. 5 Variation of cyclic stress amplitude conditions (SM 41B,  $R_\varepsilon = -1$ )

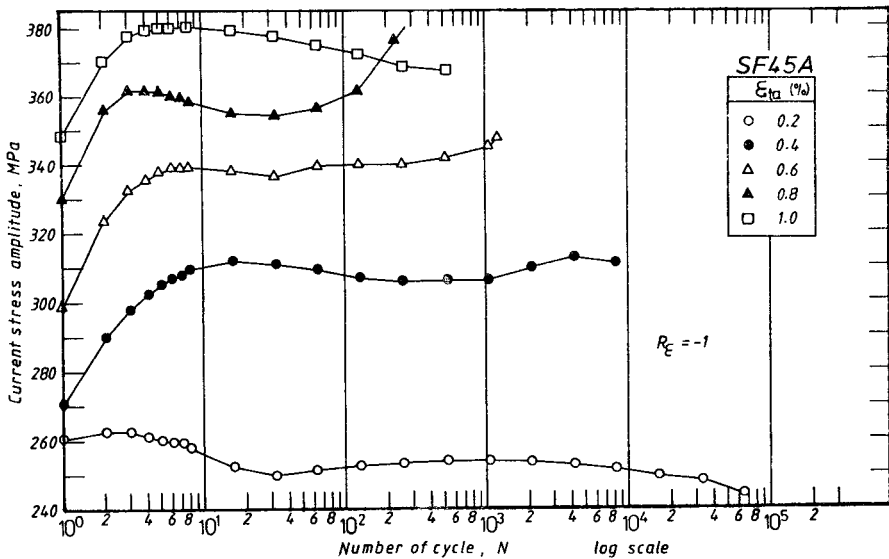


Fig. 6 Variation of cyclic stress amplitude under constant total axial strain amplitude conditions(SF45A)

고 있으며, 變形率 振幅의 增加와 함께 初期의 硬化 정도가 현저하게 됨을 보이고 있다.

한편 SF 45A에서는, Fig. 6에 나타낸 바와 같이  $\epsilon_{ta}=0.2\%$ 에서는 약간의 軟化가 발생하지만, 그것은 SM41B에 있어서 보다 극히 적다.  $\epsilon_{ta}$ 가 0.2% 이상에서 반복初期에 反復硬化 현상을 보이는 것은 SM41B의 경우와 마찬가지이나, 그 硬化 정도가 현저히 크게 나타남을 보이고 있다.

이상에서 압연강재에 비해 단조강재의 경우가 反復初期에 硬化가 현저하게 된다는 事實을 알았으나, 이는 압연강재의 경우가 단조강재에 比해 큰 加工變形率이 残存되기 때문인 것으로 생각된다.

또한 두 鋼種 모두  $10^3$ 回 内의 低사이클 疲勞範圍에서 破斷되는 高變形率 振幅의 조건을 除外하고 初期에 급격한 硬化運動을 보인 후는 매우 완만하나 破斷에 이르기 까지 대체로 반복硬化되고 있음을 보이고 있다.

### 3.2 單純引張 特性과 반복응력-변형률 특성

Fig. 7과 Fig. 8는 각각 SM41B와 SF45A의 단순 인장응력-변형률을 曲線과 반복응력-변형률 曲線을 함께 나타낸 것이다.

그림에서 반복응력-변形률 曲線上의 各點들은, 각  $\epsilon_{ta}$ 에 대하여 거의 안정된 應力-변形률 舉動을 나타내는  $1/2N_f$ 인 反復數에서의  $\sigma_a$ 와  $\epsilon_{ta}$ 의 關係

이다. 本 實驗에서 取한 全 實驗條件에서 塑性變形이 発生하였기 때문에 單純引張應力-變形率 曲線과 반복응력-變形率 曲線에서 各各 다음 式이 成立함

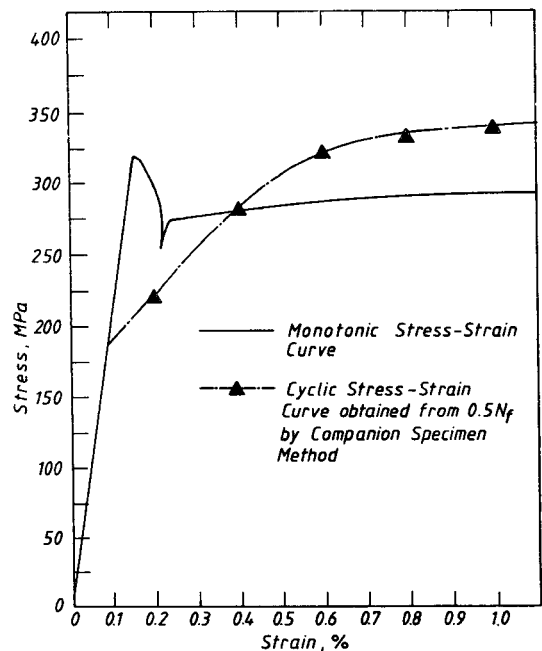


Fig. 7 Comparison of Monotonic & Cyclic stress strain behavior(SM41B)

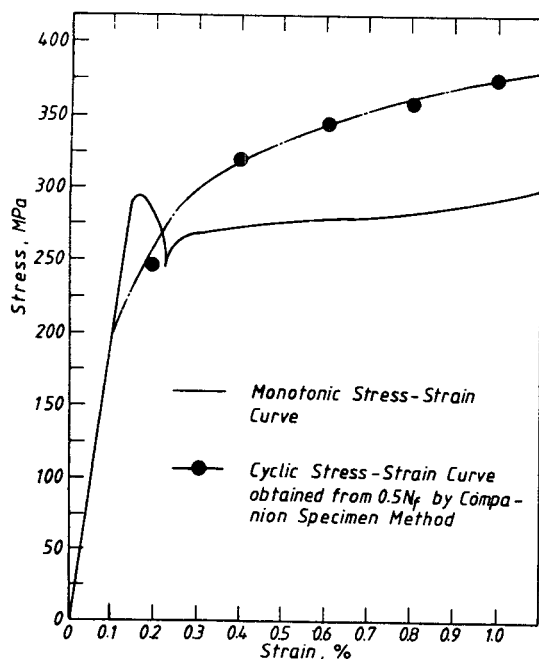


Fig. 8 Comparison of Monotonic & Cyclic stress-strain behavior (SF45A)

다.

單純引張應力-變形率

$$\sigma = K \cdot (\varepsilon_p)^n \quad (3)$$

反復應力-變形率

$$\sigma_a = K' \cdot (\varepsilon_{pa})^{n'} \quad (4)$$

Table 3 Monotonic and cyclic stress-strain material constants

Material	Monotonic		Cyclic	
	K	n	K'	n'
SM41B	301.4	0.0436	348.9	0.1768
SF45A	335.7	0.0975	394.6	0.1818

여기서

$\varepsilon_p$  : 단순 인장時의 소성 변형율

$\varepsilon_{pa}$  : 소성 변형율 진폭

$n, n'$  : 단순 및 반복경화율 指數

$k, k'$  : 계수

實驗結果들을 이용하여  $k, n, k', n'$ , 를 구하면 Table 3으로 정리된다.

Manson<sup>(16)</sup> 等은 引張强度  $\sigma_u$  와 0.2% 읍셋 降伏强度(0.2% offset yield strength)  $\sigma_{ys}$ 의 비  $\sigma_u/\sigma_{ys}$  가 1.4 보다 큰材料는 反復硬化한다는 사실을 보고하고 있다. 本 實驗의 實驗材料인 SM41B의 경우  $\sigma_u/\sigma_{ys}=1.48$ , SF45A에서는  $\sigma_u/\sigma_{ys}=1.70$ 으로 위에서 언급한一般的인事實과 잘一致함을 알 수 있다.

### 3.3 低사이클 疲勞수명 特性( $\varepsilon_{ta}-N_f$ 曲線)

Fig. 9과 Fig. 10은 각각 SM41B와 SF45A의 低사이클 피로수명곡선인  $\varepsilon_{ta}-N_f$ 曲線을 나타내고

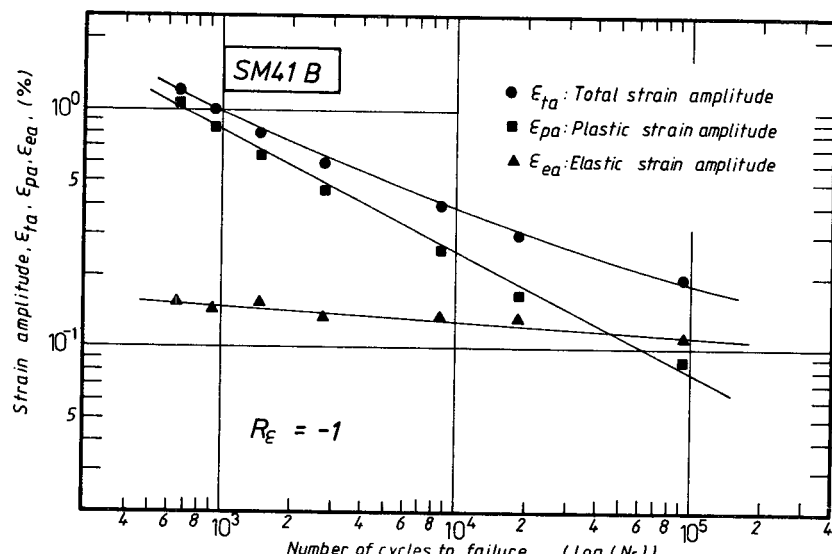


Fig. 9 Low cycle fatigue strain-life curve

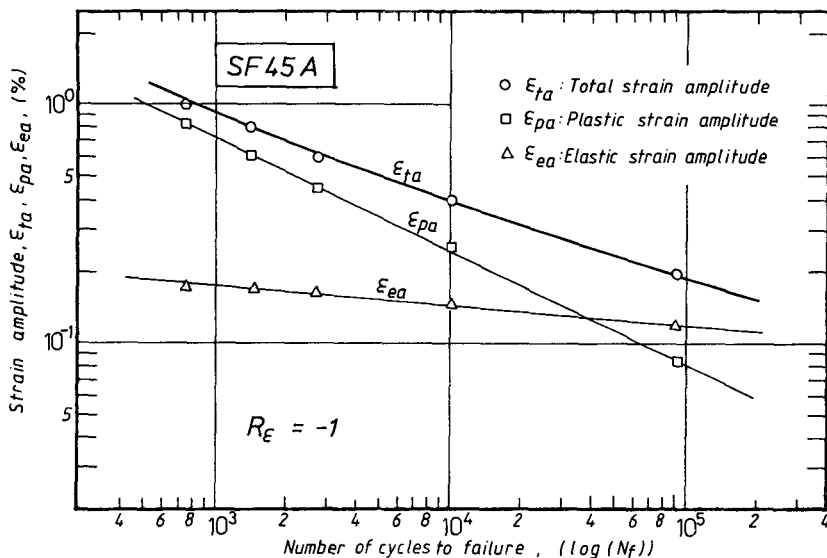


Fig. 10 Low cycle fatigue strain-life curve

있다. 여기서  $N_f$ 는 破斷까지의 反復數(number of cycle to failure)를 나타낸다<sup>(2)</sup>.

Fig. 5와 Fig. 6에서 알 수 있는 바와 같이 임의의  $\varepsilon_{ta}$ 에 대한 응력응답치는  $\frac{1}{2} \cdot N_f$  부근에서 거의 안정화 되기 때문에,  $\varepsilon_{ta}$ 는  $\frac{1}{2}N_f$ 에서의 應力-變形率 히스테리시스 루프로 부터 弹性變形率性分 ( $\varepsilon_{ea}$ )과 塑性變形率性分 ( $\varepsilon_{pa}$ )으로 나뉘어 진다. 따라서 주어진 壽命  $N_f$ 에서 全變形率振幅  $\varepsilon_{ta}$ 는 弹性變形率과 塑性變形率의 합이다. 이것을 數式化하면 式 (5)로 나타내어 진다.

$$\begin{aligned}\varepsilon_{ta} &= \varepsilon_{pa} + \varepsilon_{ea} \\ &= \varepsilon_{pa} + \frac{\sigma_a}{E}\end{aligned}\quad (5)$$

여기서  $\varepsilon_{ea} - N_f$  관계 및  $\varepsilon_{pa} - N_f$  관계는 각각 Basquin's 式 및 Manson Coffin 式인 다음의 式 (6)과 式 (7)로 나타낼 수 있다<sup>(2)</sup>.

$$\varepsilon_{ea} = \frac{\sigma_f'}{E} \cdot (N_f)^{-b} \quad (6)$$

Table 4 The coefficients and exponents of the low cycle fatigue curves

Material	$\varepsilon_f'$	$a$	$\sigma_f'/E$	$b$
SM41B	0.2485	0.498	0.00227	0.06
SF45A	0.2	0.478	0.00322	0.087

$$\varepsilon_{pa} = \varepsilon_f' \cdot (N_f)^{-a} \quad (7)$$

여기서,  $\sigma_f'/E$ 와  $\varepsilon_f'$ 는 각각 피로강도계수(fatigue strength coefficient) 및 피로연성계수(fatigue ductility coefficient)이며  $a$  및  $b$ 는 각각 疲勞延性指數(fatigue ductility exponent) 및 疲勞强度指數(fatigue strength exponent)이다.

Fig. 9와 Fig. 10에서 보여지고 있는 바와 같이  $\varepsilon_{ea} - N_f$ 와  $\varepsilon_{pa} - N_f$  관계는 兩對數좌표상에서 양호한 直線관계를 나타낸다.

實驗結果들을 이용하여 각 직선을 최소자승법에 의해 근사하고 각각의 계수 및 지수  $\varepsilon_f'$ ,  $a$ ,  $\sigma_f'/E$ ,  $b$ 를 정리하면 Table 4와 같다.

여기서  $\varepsilon_{ta}$ 와  $N_f$ 의 관계는 式 (5), (6), (7)으로 부터

$$\varepsilon_{ta} = \varepsilon_f' (N_f)^{-a} + \frac{\sigma_f'}{E} (N_f)^{-b} \quad (8)$$

로 나타낼 수 있다. 그림에서 보여지는 바와 같이 鋼種에 따른 低사이클 疲勞壽命曲線의 차이는 거의 나타나지 않고 있다.

### 3.4 低사이클 疲勞 破斷面의 微視的 考察

Fig. 11은 SM41B 鋼에 대해  $\varepsilon_{ta}=0.2$ , 0.4 및 1.0%에서 破斷된 破面의 巨視的인 形狀을 나타내고 있다.

사진에서 보여지는 바와 같이  $\varepsilon_{ta}$ 가 커질 수록 破斷面은 더욱 거칠어 지며 破面上에 나타나는 2次

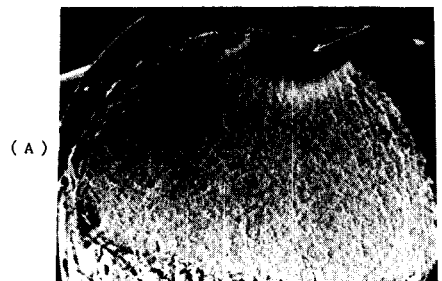
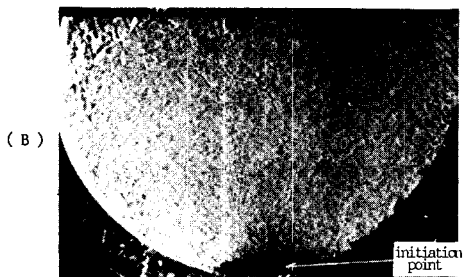
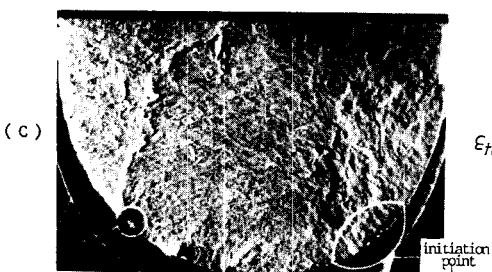
 $\varepsilon_{ta} = 0.2\%$  $\varepsilon_{ta} = 0.2\%$  $\varepsilon_{ta} = 0.4\%$  $\varepsilon_{ta} = 0.4\%$  $\varepsilon_{ta} = 1.0\%$  $\varepsilon_{ta} = 1.0\%$ 

Fig. 11 Macroscopic fractographies of the low cycle fatigue fracture surface(SM41B)

균열(secondary crack)의 크기도 커짐을 알 수 있다. 이는  $\varepsilon_{ta}$ 가 커질수록試片에는 더 큰塑性變形이 반복하여作用하기 때문이라思料된다. 그리고破面上에는試片表面여러부분에서發生된균열들이 합치되어생긴段(step)들이 다수 관찰되어지고 있다.

Fig. 12는 SM41B鋼에 대해  $\varepsilon_{ta}$ 의大小에 따른破面上의差異를考察하기위해  $\varepsilon_{ta}=0.2, 0.4, 1.0\%$ 에서破斷된波面의micro-fractograph을나타낸것이다. 이로부터알수있는바와같이低變形率負荷( $\varepsilon_{ta}=0.2\%$ )時의破面에서는疲勞破面의특징인스트라이에이션(striation)이 뚜렷이나타난다. 반면,高度變形負荷時는균열面의上부와下부가압축時마찰됨에의해균열面의마멸(rubbing)이발생하여<sup>(17)</sup>破面의뚜렷한形狀을관찰할수없지만,破面全般에걸쳐스트라이에이션보다는

Fig. 12 Variations of the low cycle fatigue fracture surface with changing the loading condition

타이어트랙(tire track)이形成되어져있음을알수있다.

以上과같은破面樣相은SM41B와SF45A鋼種에서뚜렷하게차이점을發見할수없었다.

#### 4. 結論

軟鋼級低炭素鍛造鋼인SF45A와압연鋼材인SM41B鋼種에대해室溫의공기中에서低사이클疲勞試驗을行한결과다음과같은結論을얻었다.

(1) 두鋼種모두0.2%의低變形率振幅에서는반복軟化舉動을보이나,그以上의變形率振幅에서는初期에급격한硬化舉動을보인후안정된상태로되어破斷에까지이른다. 이러한반복初期의硬化舉動은鍛造鋼材의경우가더욱뚜렷하다.

(2) 반복塑性變形率振幅( $\varepsilon_{pa}$ )과응답응력진폭

$(\sigma_a)$ 의 關係는 두 鋼種에서 각각 다음과 같이 나타난다.

SF45A의 鍛造鋼의 경우

$$\sigma_a = 394.6 (\varepsilon_{pa})^{0.1818}$$

SM41B의 압연 鋼의 경우

$$\sigma_a = 348.9 (\varepsilon_{pa})^{0.176}$$

(3) 全變形振幅( $\varepsilon_{ta}$ )와 破斷수명( $N_f$ )와의 關係는 두 鋼種에서 각각 다음과 같이 나타난다.

SF45A의 鍛造鋼의 경우

$$\varepsilon_{ta} = 0.2 \cdot (N_f)^{-0.478} + 0.00322 \cdot (N_f)^{-0.087}$$

SM41B의 압연 鋼의 경우

$$\varepsilon_{ta} = 0.2485 (N_f)^{-0.498} + 0.00227 \cdot (N_f)^{-0.06}$$

(4) 低사이클 疲労 破面은 低變形率에서는 스트라이에이션 양상으로, 高變形率에서는 rubbing 과 tire track 樣相으로 된다.

### 參 考 文 獻

- (1) Truchon, M., 1982, "Application of Low Cycle Fatigue Test Results to Crack Initiation from Notches", ASTM STP 770, pp. 254~268.
- (2) Fuchs, H. O., Stephens, R. I., 1980, "Metal Fatigue in Engineering", A Wiley Interscience Pub., pp. 56~57.
- (3) 西島, 松岡, 外2人, 1984, "JIS 機械構造用強鋼の 軸荷重疲労特性", 日本機械學會論文集(A編), 第50卷, 第453號, pp. 1011~1018.
- (4) 西島, 由中, 外3人, 1980, "JIS 機械構造用炭素鋼 ならびにCr及びCr-Mo鋼の軸荷重疲労特性", 日本機械學會論文集(A編) 第46卷, 412號, pp. 1314~1328.
- (5) 松岡, 外2人, 1986, "高強度鋼の低サイクル疲労特性", 日本機械學會論文集(A編), 第52卷, 第480號, pp. 1831~1837.
- (6) Landgraph, R.W., 1973, "Cumulative Fatigue Damage under Complex Strain Histories", ASTM STP 519, pp. 213~228.
- (7) Koibuchi, K., Kotani, S. 1973, "The Role of Cyclic Stress—Strain Behavior on Fatigue Damage under Varying Load", ASTM STP 519, pp. 229~245.
- (8) 二瓶, 外2人, 1985, "ヒステリシスエネルギー論による曲げ疲労强度の豫測", 日本造船學會論文集, 第156號, pp. 458~468.
- (9) 飯田, 外3人, 1982, "歪制御 低サイクル疲労におけるヒステリシスループの解説と壽命推定", 日本造船學會論文集, 第150號, pp. 471~481.
- (10) D'Haeyer, R., Simon, P., 1982, "Low Cycle Fatigue Behavior of Thick High Strength Steel Plates for Pressure Vessels", ASTM STP 770, pp. 296~310.
- (11) Nowack, H., Hanschman, D., et al. 1982, "Prediction Capability and Improvements of the Numerical Notch Analysis for Fatigue Loaded Aircraft and Automotive Components", ASTM STP 770, pp. 269~295.
- (12) 山田, 星出, 外2人, 1983 "中炭素鋼の平滑材塑性疲労における表面き裂の傳ば解説に基づく壽命則の検討", 日本機械學會論文集(A編), 第49卷~第440號, pp. 441~451.
- (13) 趙相明, 1988, "切欠き材における疲労き裂の初期傳播特性に関する研究", 日本大阪大學博士論文.
- (14) 尾野, 仁瓶 外2人, 1987, "疲労損傷の 非破壊的診断と残存壽命豫測法", 日本溶接學會誌, 第56卷 第7號, pp. 417~421.
- (15) Instron, 1982, Instron Series 8000 "Application Program for Low Cycle Fatigue Test", Instron Manual.
- (16) Smith, R.W., Hirschberg, M.H., and Manson, J.A., 1963, "Fatigue Behavior of Materials under Strain Cycling in Low and Intermediate Life Range", NASA TN D-1574.
- (17) Hotta, T., Ishiguro, T., et al. 1971, "Fractographic Studies on the Low Cycle Fatigue of Steels", Cracking and Fracture in welds, Pro. of 1st Int. Sym. of the JWS.